

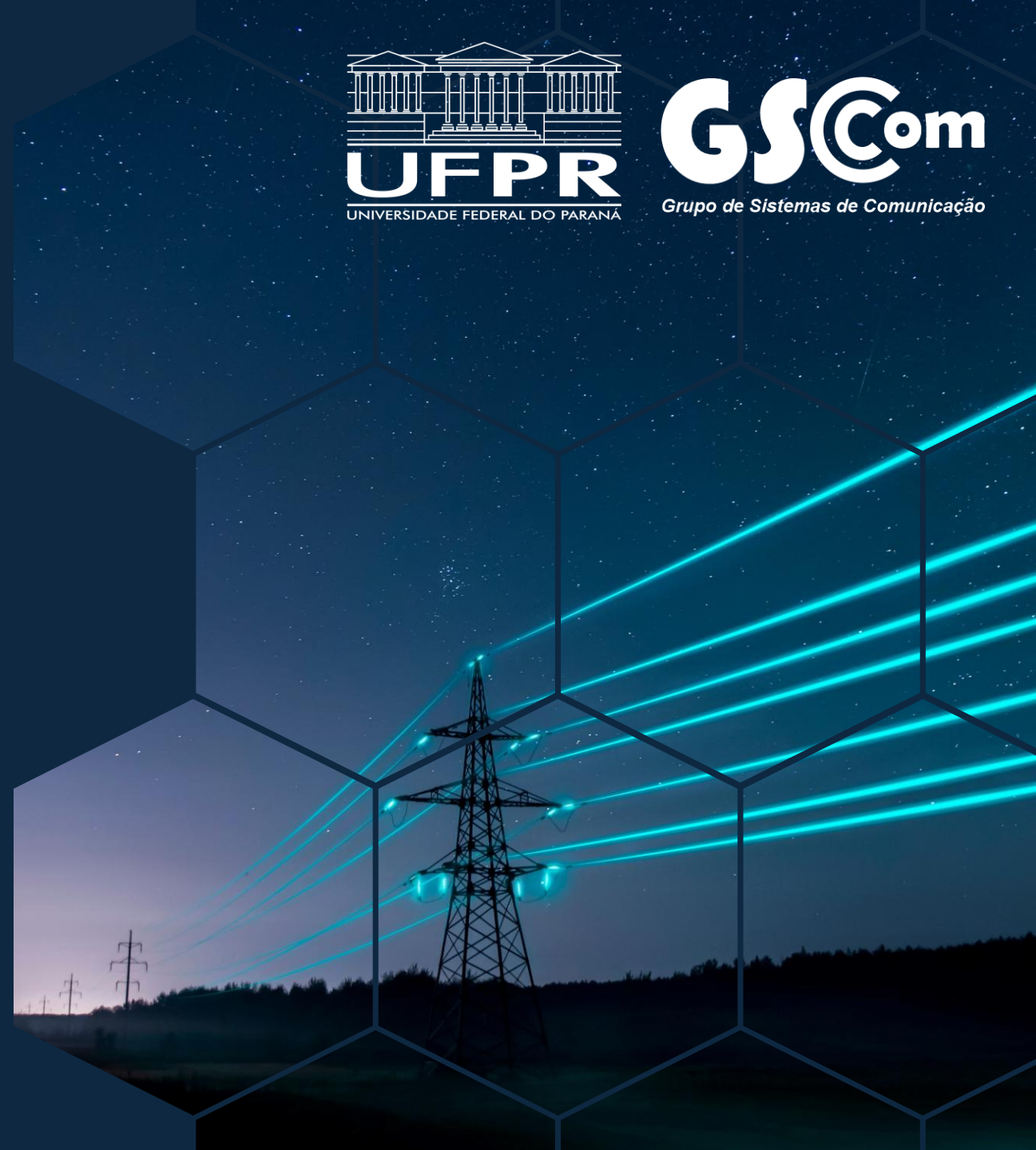


Comunicação através da Rede Energia Elétrica

Modulação Multiportadora

Ândrei Camponogara

Programa de Pós-Graduação em Engenharia Elétrica
Departamento de Engenharia Elétrica



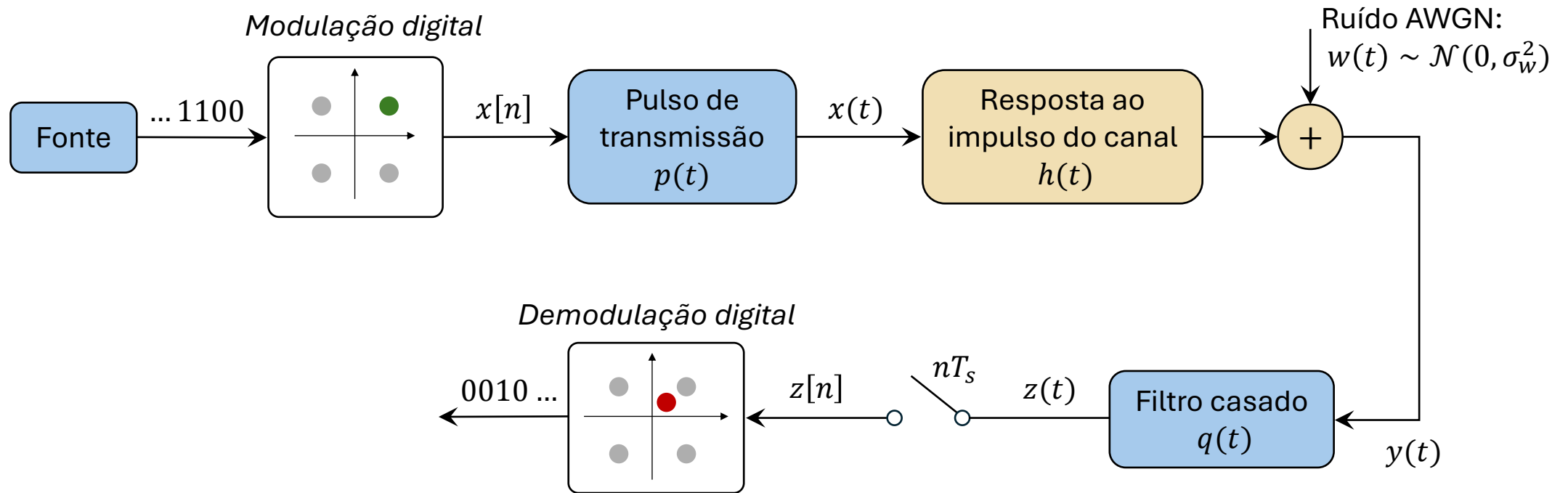
Sumário

- Revisão: modulação monoportadora
- Esquema OFDM
- Estimação de canal
- Esquema DMT

Revisão: Modulação Monoportadora

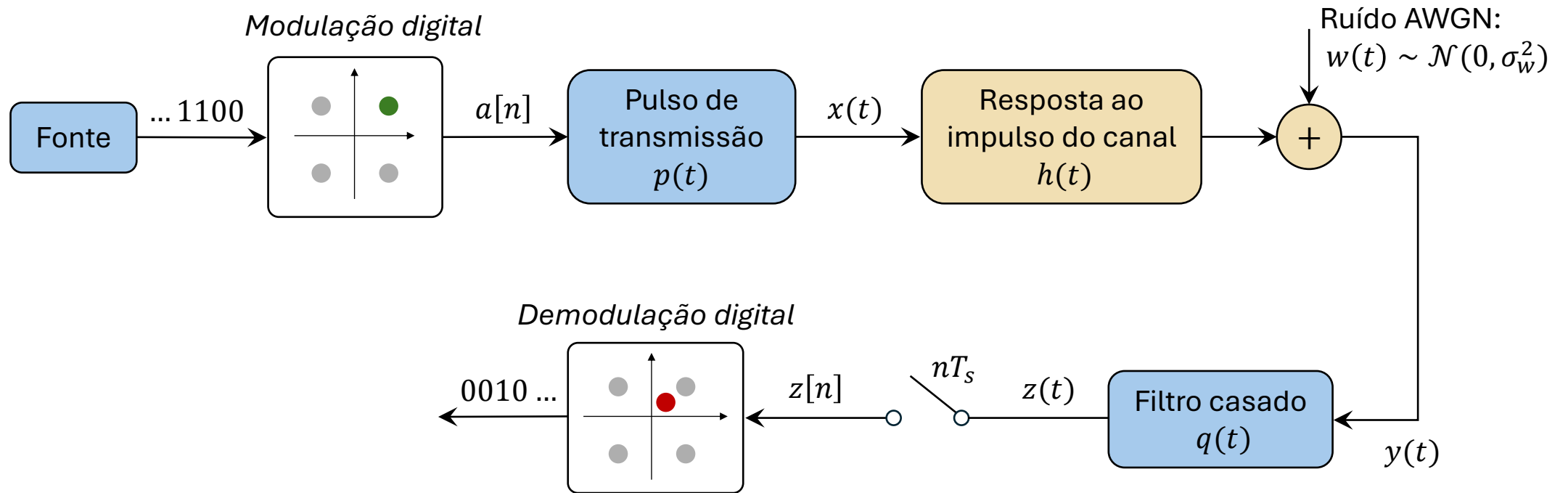


Revisão: modulação monoportadora



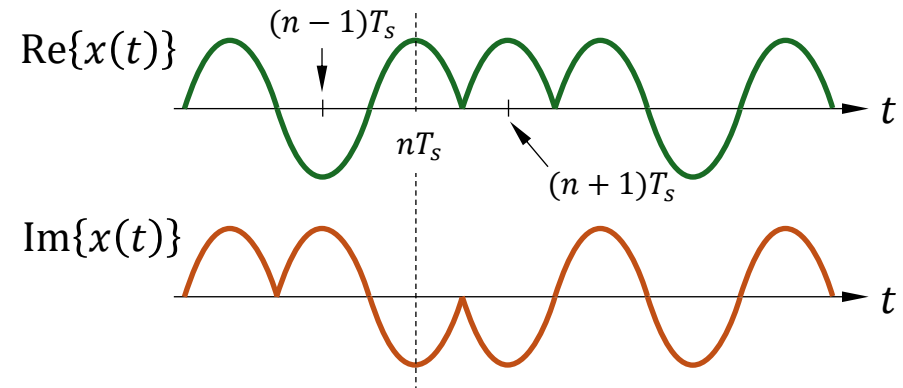
- Notação:
 - $x[n]$: n -ésimo símbolo de uma constelação M -ária
 - T_s : intervalo de símbolo

Revisão: modulação monoportadora

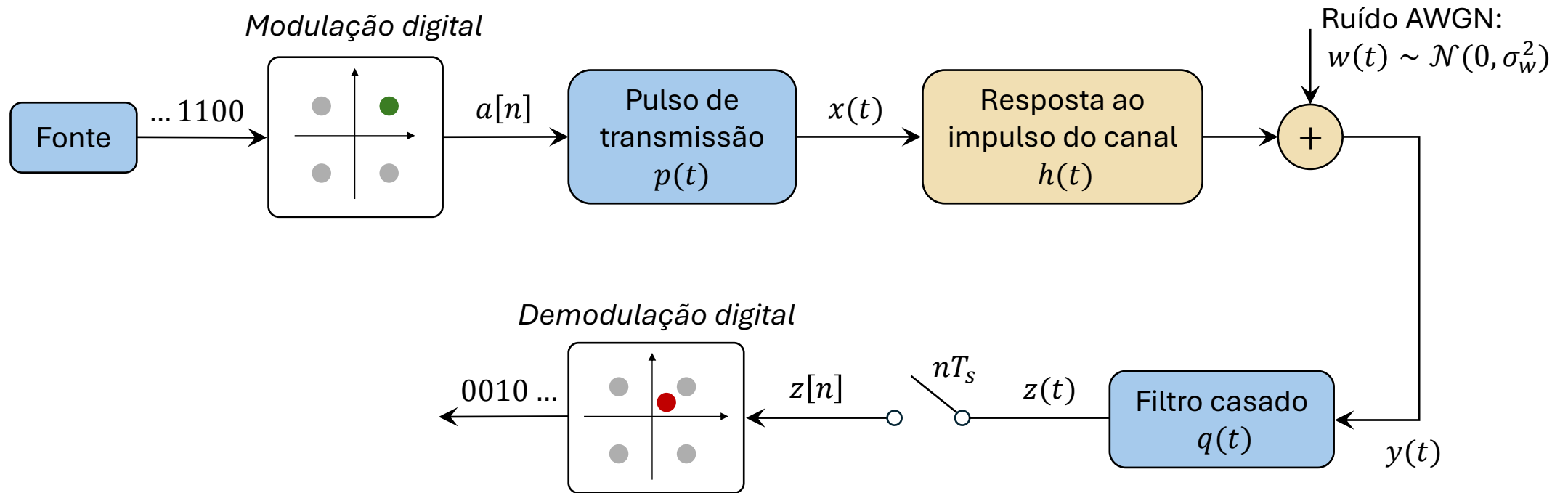


- Sinal de transmissão:

$$x(t) = \sum_{n=-\infty}^{\infty} x[n]p(t - nT_s)$$



Revisão: modulação monoportadora



- Sinal recebido na entrada do receptor:

$$\begin{aligned} y(t) &= x(t) \star h(t) + w(t) \\ &= \int_{-\infty}^{\infty} x(\tau) h(t - \tau) d\tau + w(t) \end{aligned}$$

Revisão: modulação monoportadora

- Assumindo $h(t) = 1$, temos a saída do filtro casado:

$$z(t) = y(t) \star q(t)$$

$$= \sum_{m=-\infty}^{\infty} x[m]p(t - mT_s) \star p^*(-t) + w(t) \star q(t)$$

$q(t)$ é um filtro passa-baixas

$$= \sum_{m=-\infty}^{\infty} x[m]p(t - mT_s) \star p^*(-t) + v(t)$$

Ruído AWGN banda limitada

- Amostragem em $t = nT_s$:

$$z(nT_s) = \sum_{m=-\infty}^{\infty} x[m] \cdot C \cdot \delta(nT_s - mT_s) + v(nT_s)$$

$$z[n] = C \cdot x[n] + v[n]$$

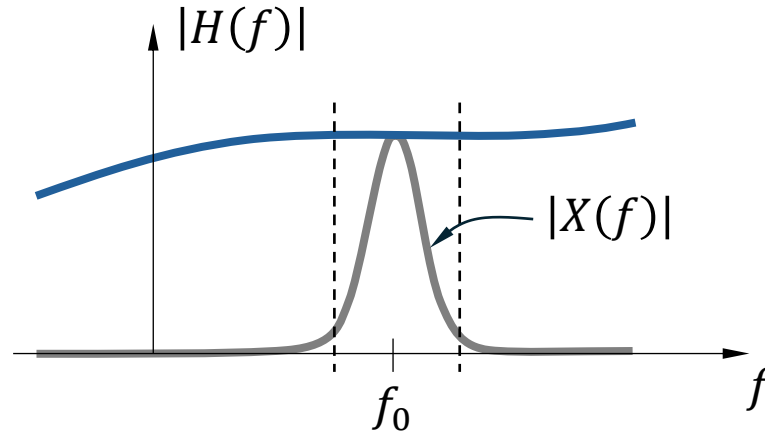
Se a energia de $p(t)$ e $q(t)$ são iguais a um, então $C = 1$

Comunicação Multiportadora



Canais sem Fio Banda Estreita

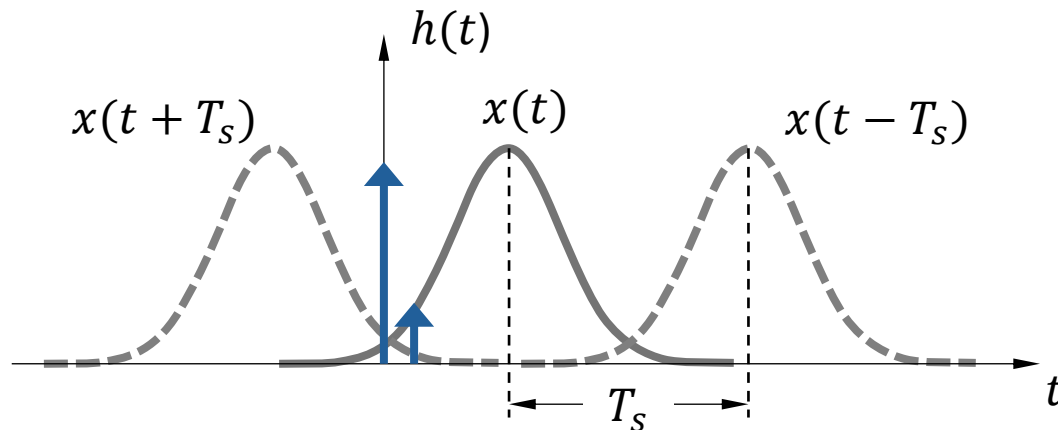
- Domínio da frequência



$$Y(f) = H(f) \cdot X(f) \\ \approx H(f_0) \cdot X(f)$$

Plano em frequência

- Domínio do tempo:

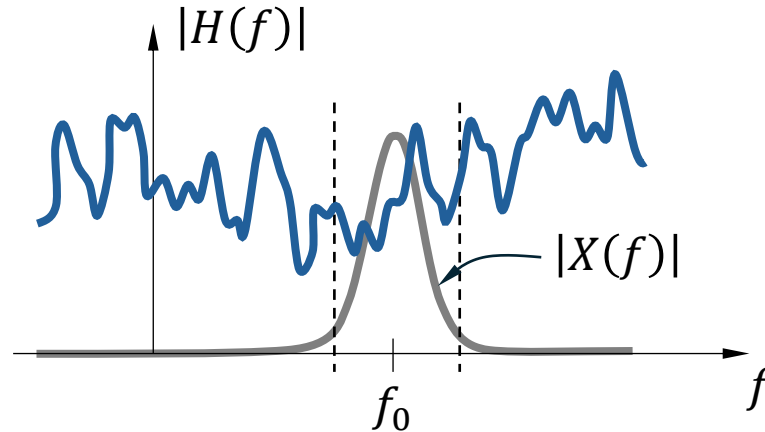


$$y(t) = h(t) \star x(t) \\ \approx h(t) \cdot x(t)$$

Sem ISI

Canais sem Fio Banda Larga

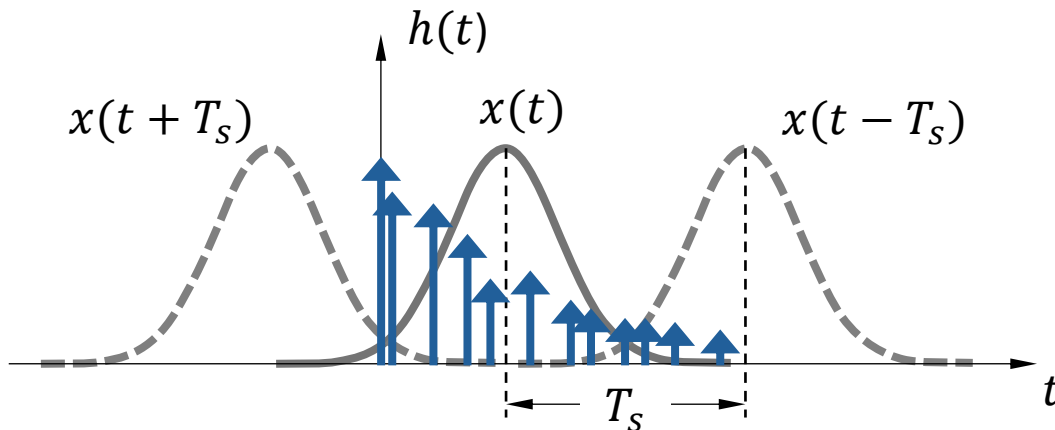
- Domínio da frequência



$$Y(f) = H(f) \cdot X(f)$$

Seletivo em frequência

- Domínio do tempo:



$$y(t) = h(t) \star x(t)$$

Os símbolos sucessivos vão se sobrepor \Rightarrow **ocorrerá ISI**

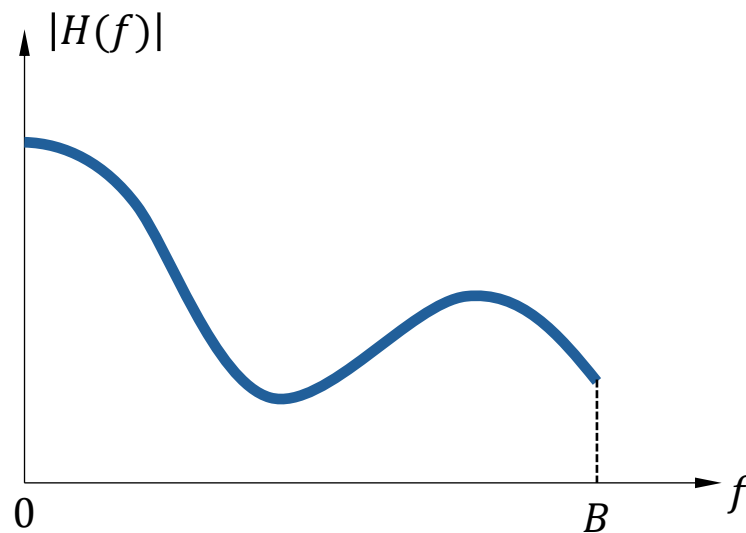
Comunicação digital multiportadora

- Transmissão multiportadora ideal:

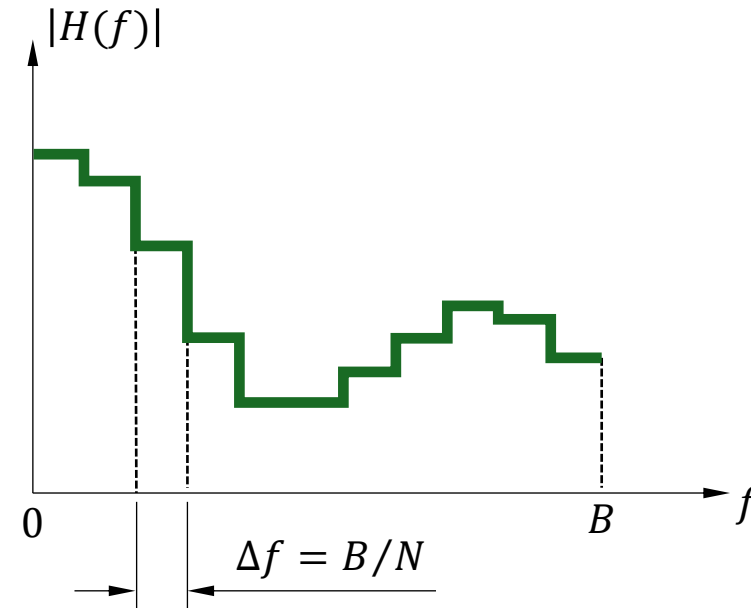
Canal banda larga



N canais banda estreita



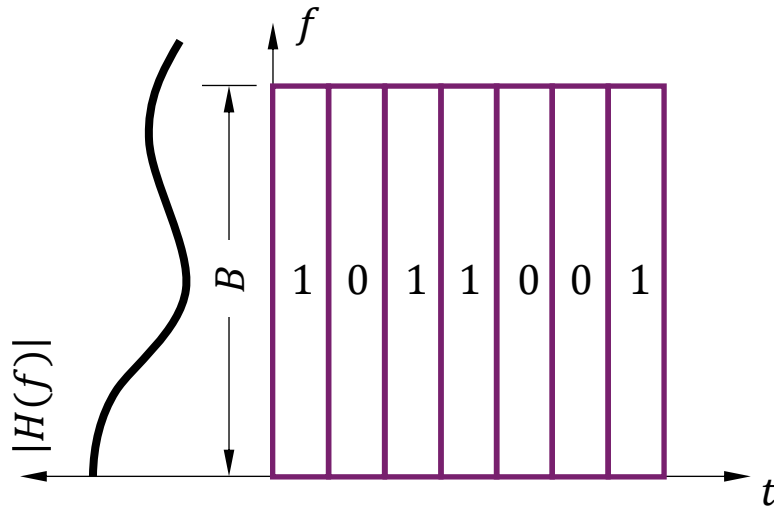
*Canal seletivo em frequência
e largura de banda B*



*Canal seletivo em frequência
e largura de banda $\Delta f = B/N$*

Comparação entre monoportadora e multiportadora

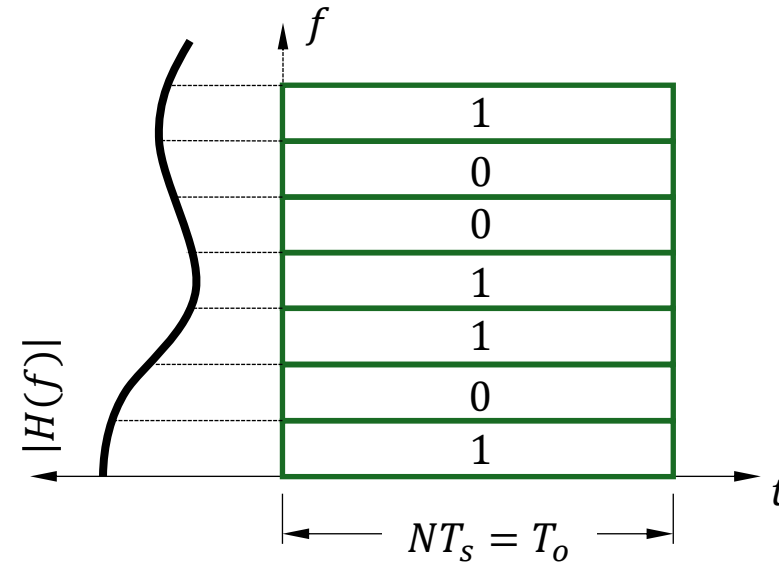
Monoportadora



Um único símbolo possui:

- Largura de banda: B
- Duração no tempo: T_s

Multiportadora



Um único símbolo possui:

- Largura de banda: $B/N = \Delta f$
- Duração no tempo: $NT_s = T_o$

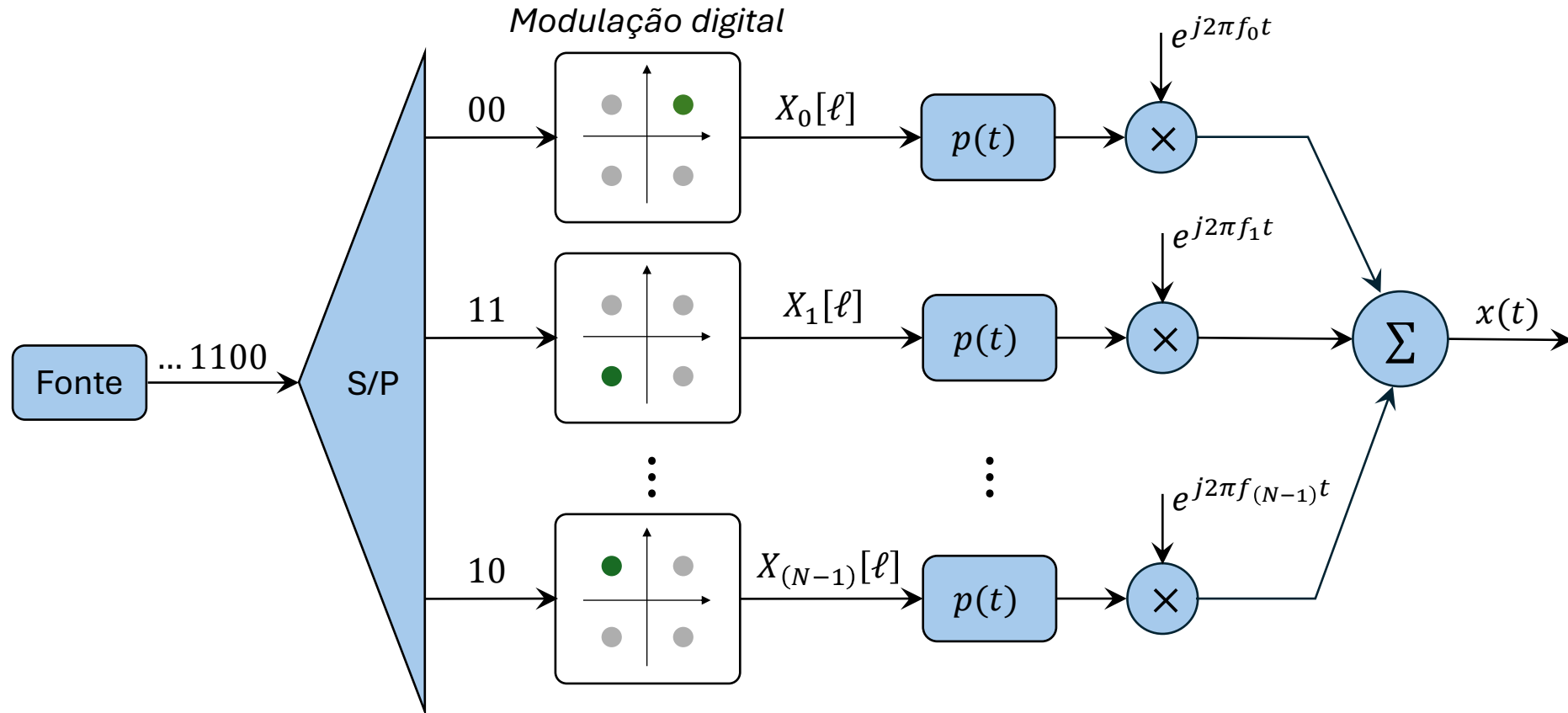
Comunicação digital multiportadora

- As técnicas de modulação multicanal são as mais adequadas para lidar com canais de comunicação que apresentam moderada ou severa ISI porque elas facilitam a formatação espectral do sinal transmitido e o emprego de receptor de máxima verossimilhança
- Aumento considerável de desempenho é alcançável quando o sinal na saída do modulador é projetado em função das características do canal medido → As técnicas de modulação multicanal permitem o modulador se adaptar ao canal
- A origem da modulação multicanal remonta o final da década de 40 do século XX. Em 1948, Claude Shannon publicou o artigo seminal sobre teoria da informação
- Nesse artigo, foram propostos limites de capacidade para transmissão de informações através de um canal AWGN com ISI, a partir do uso de modulação multicanal

Comunicação digital multiportadora

- Em 1968, Prof. Gallager do MIT adicionou rigor matemático detalhado e popularizou o termo *waterfilling* como formatação otimizada do espectro de transmissão do sinal em função do canal de comunicação e do ruído aditivo
- Após a introdução sobre modulação multicanal e seus avanços teóricos, o grande desafio era introduzir implementações estáveis de múltiplos moduladores em *hardware*. Avanços nessa direção foram observados entre 1960 e 1990
- Apesar da modulação multicanal ser mostrar superior à monocanal, vários problemas de ordem prática tornavam a sua implementação complicada

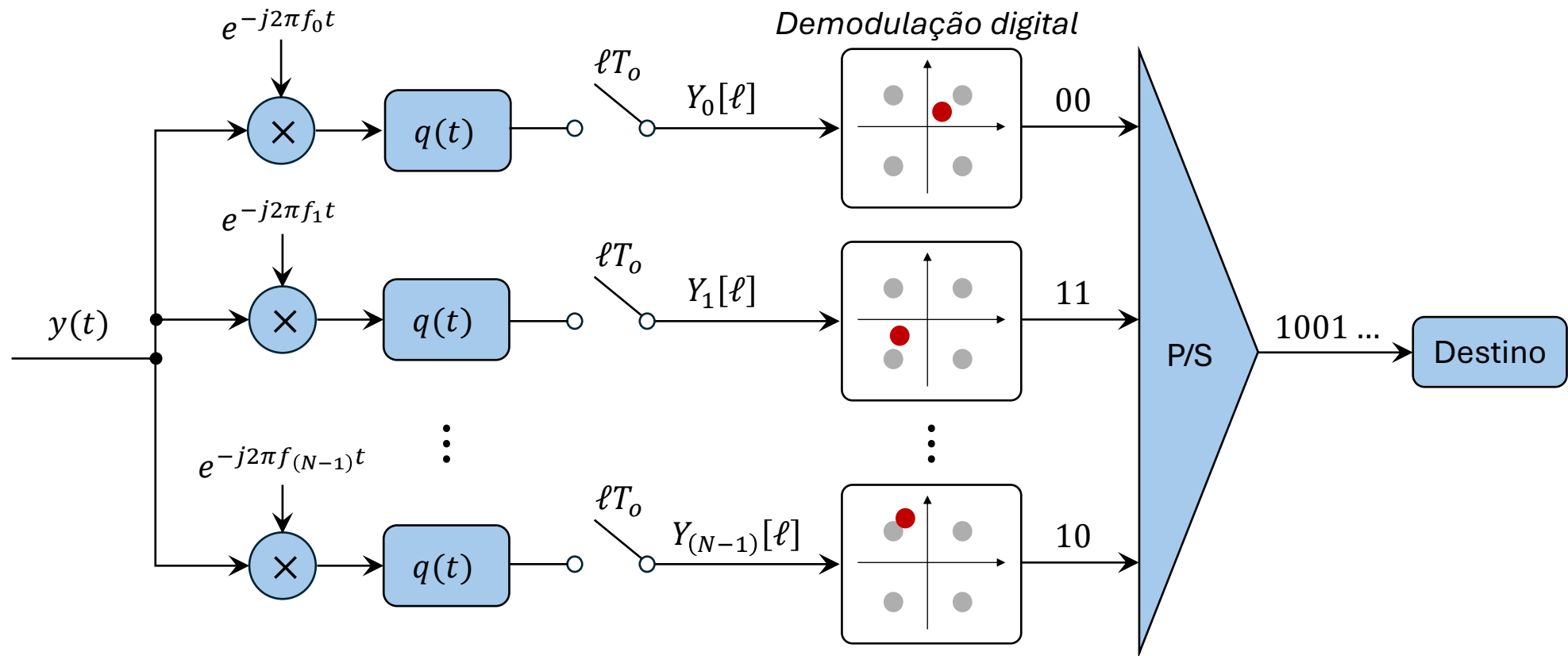
Diagrama de blocos do transmissor



Sinal de transmissão:

$$x(t) = \sum_{k=0}^{N-1} \sum_{\ell=-\infty}^{\infty} X_k[\ell] p(t - \ell T_o) e^{j2\pi f_k t}$$

Diagrama de blocos do receptor



Sinal de recepção:

$$Y_k[\ell] = [y(t) \cdot e^{-j2\pi f_k t}] \star q(t) \Big|_{t=\ell T_o} \quad \text{com} \quad q(t) = p^*(T_o - t) \text{ e } T_o = NT_s$$

Esquema OFDM



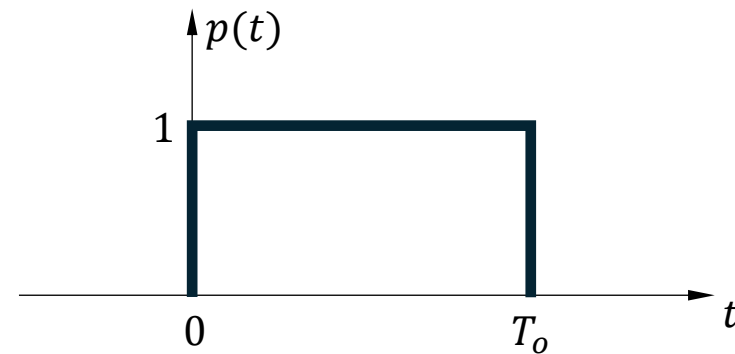
Esquema OFDM

- Em 1993, grupo de pesquisadores liderados pelo Prof. John Cioffi apresentou uma implementação digital de um modulador multicanal, chamado de *Discrete Multitone* (DMT) e participou da competição chamada de *Bellcore Transmission Olympics* para DSL
- Competindo com moduladores monocanal, o DMT apresentou desempenho superior (entre 10 e 30 dB)
- O DMT foi vencedor da competição e, a partir de então, o emprego da modulação multiportadoras baseada na DMT popularizou-se em sistemas de comunicação cabeados e, a seguir, em comunicações sem fio
- A modulação multiportadoras é amplamente utilizadas nos sistemas de comunicação de dados, dentre os quais podemos citar padrões IEEE 802.11 (11n, 11ac, 11ax, 11ad e 11ay), 4G/LTE, 5G

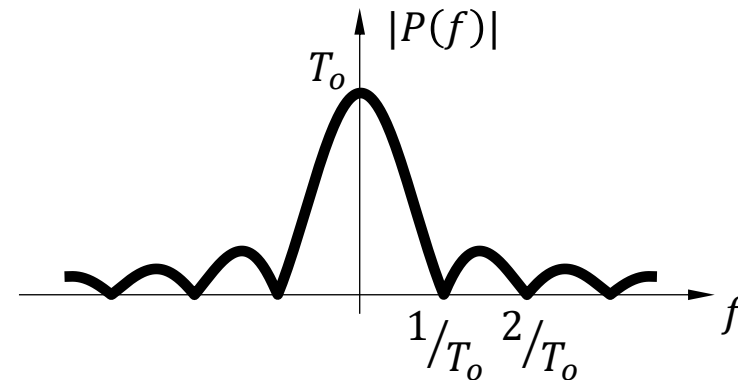
Esquema OFDM

- Multiplexação por divisão de frequência ortogonal (*orthogonal frequency-division multiplexing*, OFDM)
- **Escolha especial do filtro de formatação de pulso:**

$$p(t) = \Pi\left(\frac{t - T_o/2}{T_o}\right) \Big|_{T_o = NT_s}$$



$$\begin{aligned} P(f) &= \mathcal{F}\{p(t)\} \\ &= T_o \operatorname{sinc}(fT_o) e^{j2\pi f \frac{T_o}{2}} \end{aligned}$$



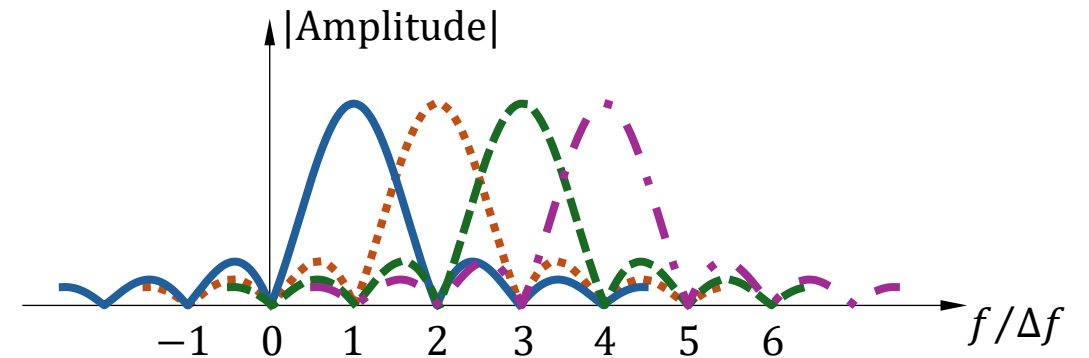
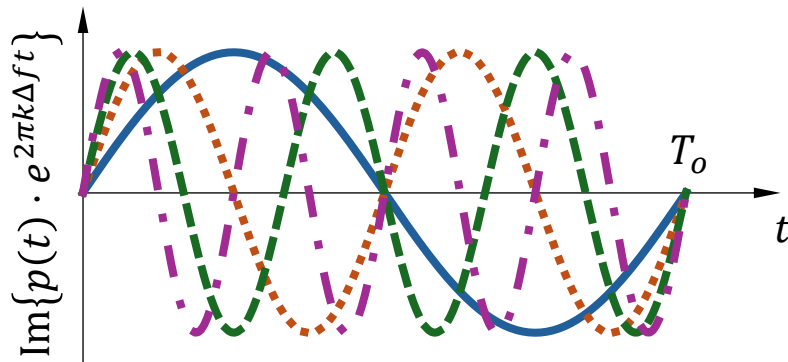
Esquema OFDM

- Escolha especial do espaço entre frequências:

$$f_k = k \frac{B}{N} = k\Delta f$$

$$\Delta f = \frac{1}{NT_s} = \frac{1}{T_o}$$

$$p(t) \cdot e^{2\pi k\Delta f t} \leftrightarrow T_o \operatorname{sinc}\left(\frac{f - k\Delta f}{\Delta f}\right) e^{j\frac{\pi}{\Delta f}(f - k\Delta f)}$$



Esquema OFDM: representação no tempo discreto

- $x(t)$ é amostrado em $t = nT_s + \ell T_o = nT_s + \ell NT_s$

$$\begin{aligned}x_n[\ell] &= \sum_{k=0}^{N-1} \sum_{\ell'=-\infty}^{\infty} X_k[\ell'] p(nT_s + \ell NT_s - \ell' NT_s) e^{j2\pi \frac{k}{NT_s} (nT_s + \ell NT_s)}, \quad n = 0, \dots, N-1 \\&= \sum_{k=0}^{N-1} X_k[\ell] p(nT_s) e^{j2\pi \frac{k}{NT_s} nT_s} e^{j2\pi \frac{k}{NT_s} \ell NT_s} \\&= \sum_{k=0}^{N-1} X_k[\ell] e^{j\frac{2\pi}{N} kn} e^{j2\pi k \ell}\end{aligned}$$

- ℓ -ésimo bloco OFDM de comprimento N no tempo discreto é dado por:

$$x_n[\ell] = \sum_{k=0}^{N-1} X_k[\ell] e^{j\frac{2\pi}{N} kn}$$

$x_n[\ell]$ é **transformada discreta inversa de Fourier** de comprimento N da sequência $\{X_k[\ell]\}_{k=0}^{N-1}$

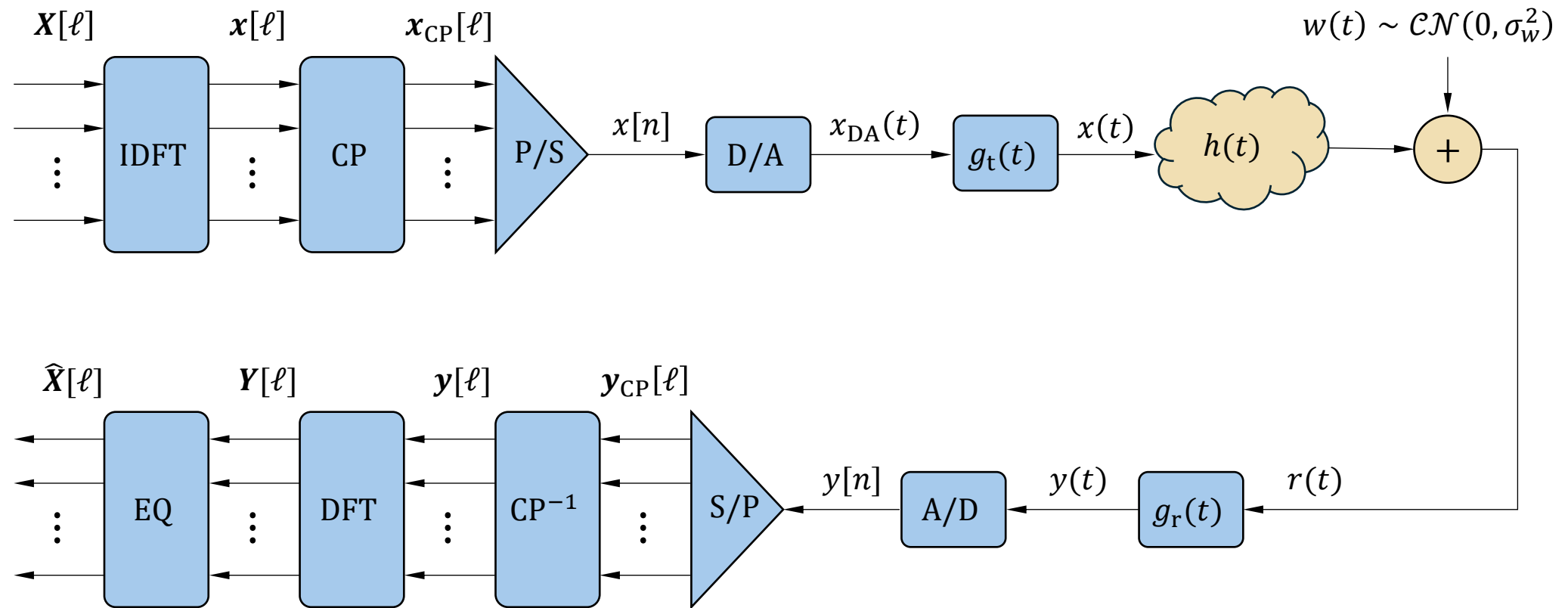
Esquema OFDM: representação no tempo discreto

- De forma semelhante ao slide anterior, é possível mostrar que o ℓ -ésimo bloco OFDM de comprimento N na frequência discreta é dado por

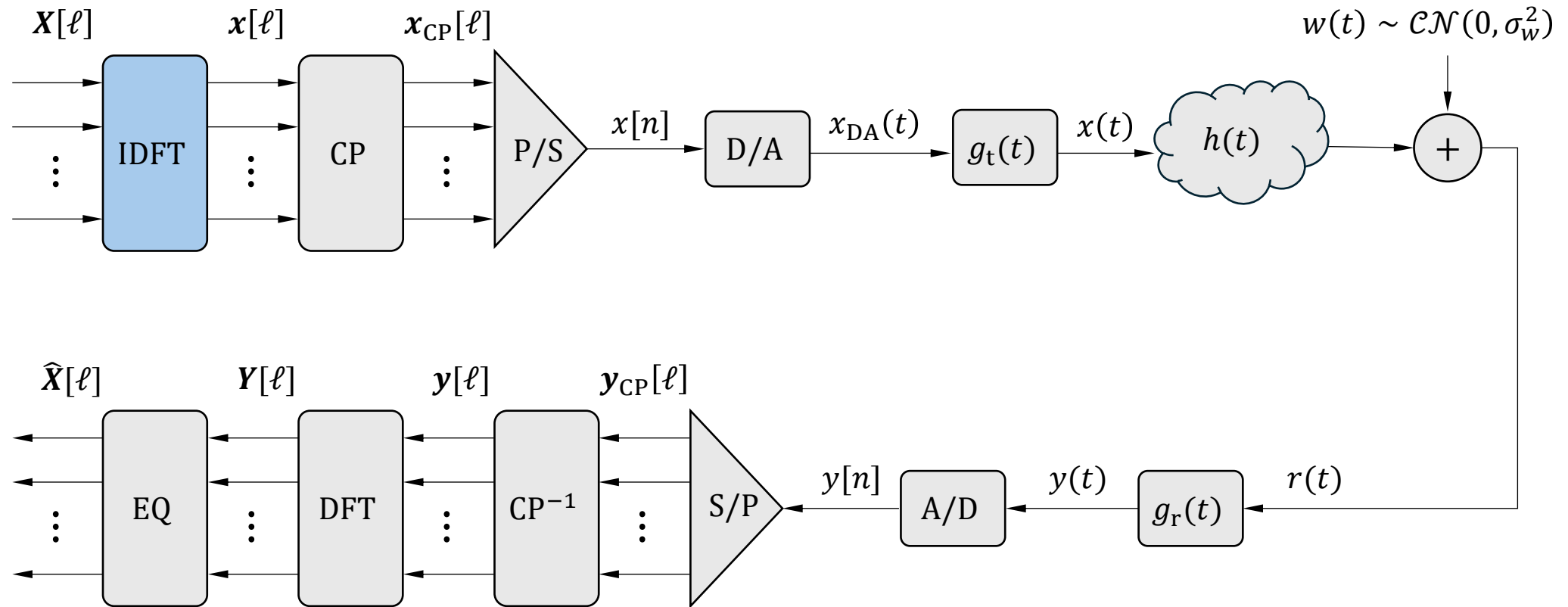
$$Y_k[\ell] = \sum_{n=0}^{N-1} y_n[\ell] e^{-j\frac{2\pi}{N}kn}$$

$\{Y_k[\ell]\}_{k=0}^{N-1}$ é **transformada discreta de Fourier** de comprimento N da sequência $\{y_n[\ell]\}_{n=0}^{N-1}$

Implementação do esquema OFDM



Transformada discreta inversa de Fourier



Transformada discreta inversa de Fourier

- Sendo $\{x_n[\ell]\}_{n=0}^{N-1}$ uma sequência no tempo discreto, a sua transformada discreta de Fourier é dada por

$$X_k[\ell] = \frac{1}{\sqrt{N}} \sum_{n=0}^{N-1} x_n[\ell] e^{-j\frac{2\pi}{N}kn}, \quad k = 0, 1, \dots, N-1$$

- A equação acima pode ser representada na forma matricial:

$$\begin{bmatrix} X_0[\ell] \\ X_1[\ell] \\ \vdots \\ X_{(N-1)}[\ell] \end{bmatrix} = \frac{1}{\sqrt{N}} \begin{bmatrix} 1 & 1 & \dots & 1 \\ 1 & e^{-j\frac{2\pi}{N} \cdot 1 \cdot 1} & \dots & e^{-j\frac{2\pi}{N} \cdot 1 \cdot (N-1)} \\ \vdots & \vdots & \ddots & \vdots \\ 1 & e^{-j\frac{2\pi}{N} \cdot (N-1) \cdot 1} & \dots & e^{-j\frac{2\pi}{N} \cdot (N-1) \cdot (N-1)} \end{bmatrix} \begin{bmatrix} x_0[\ell] \\ x_1[\ell] \\ \vdots \\ x_{(N-1)}[\ell] \end{bmatrix}$$

$$\mathbf{X}[\ell] = \frac{1}{\sqrt{N}} \mathbf{W} \mathbf{x}[\ell]$$

Transformada discreta inversa de Fourier

- Sendo $\{X_\ell[k]\}_{k=0}^{N-1}$ uma sequência na frequência discreta, a sua transformada discreta inversa de Fourier é dada por

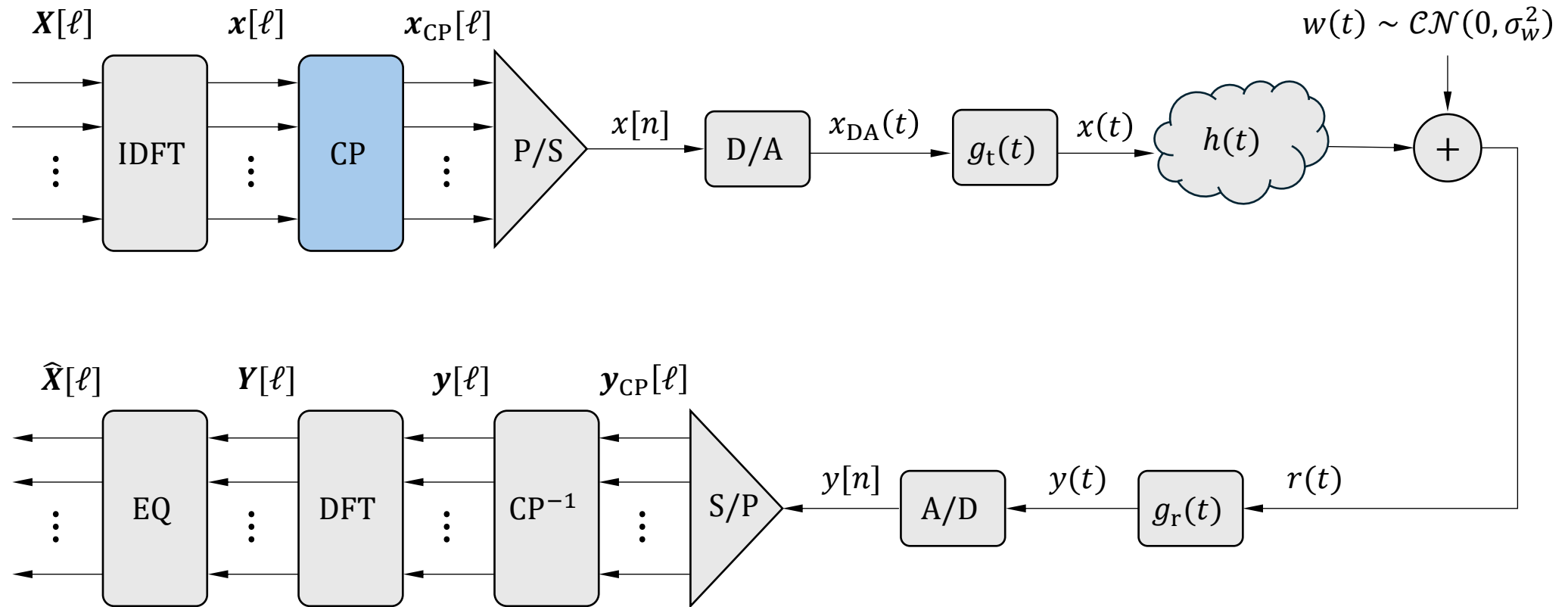
$$x_n[\ell] = \frac{1}{\sqrt{N}} \sum_{k=0}^{N-1} X_k[\ell] e^{j\frac{2\pi}{N}kn}, \quad n = 0, 1, \dots, N-1$$

- A equação acima pode ser representada na forma matricial:

$$\begin{bmatrix} x_0[\ell] \\ x_1[\ell] \\ \vdots \\ x_{(N-1)}[\ell] \end{bmatrix} = \frac{1}{\sqrt{N}} \begin{bmatrix} 1 & 1 & \dots & 1 \\ 1 & e^{j\frac{2\pi}{N} \cdot 1 \cdot 1} & \dots & e^{j\frac{2\pi}{N} \cdot (N-1) \cdot 1} \\ \vdots & \vdots & \ddots & \vdots \\ 1 & e^{j\frac{2\pi}{N} \cdot 1 \cdot (N-1)} & \dots & e^{j\frac{2\pi}{N} \cdot (N-1) \cdot (N-1)} \end{bmatrix} \begin{bmatrix} X_0[\ell] \\ X_1[\ell] \\ \vdots \\ X_{(N-1)}[\ell] \end{bmatrix}$$

$$\mathbf{x}[\ell] = \frac{1}{\sqrt{N}} \mathbf{W}^H \mathbf{X}[\ell]$$

Inserção do prefixo cíclico



Inserção do prefixo cíclico

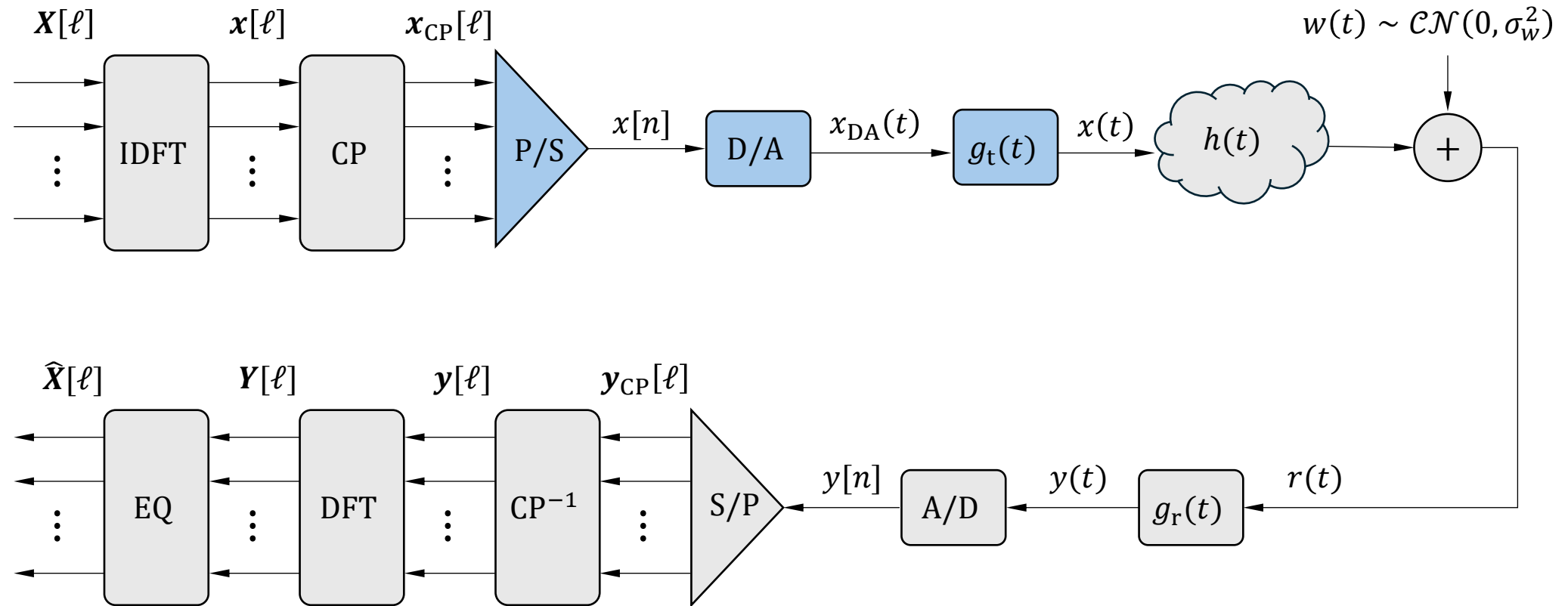
- A inserção do prefixo cíclico acontece da seguinte forma:

$$\mathbf{x}_{\text{CP}}[\ell] = \mathbf{T}_{\text{CP}}\mathbf{x}[\ell] = \begin{bmatrix} \mathbf{0}_{N_{\text{CP}} \times (N - N_{\text{CP}})} & \mathbf{I}_{N_{\text{CP}}} \\ \mathbf{I}_N & \end{bmatrix} \mathbf{x}[\ell],$$

ou seja, $\mathbf{x}_{\text{CP}}[\ell] = \left[\mathbf{x}_{(N - N_{\text{CP}})}[\ell], \dots, \mathbf{x}_{(N - 1)}[\ell], x_0[\ell], x_1[\ell], \dots, x_{(N - 1)}[\ell] \right]^T$, de forma que:

- $\mathbf{x}_{\text{CP}}[\ell] \in \mathbb{C}^{(N + N_{\text{CP}}) \times 1}$
- $\mathbf{0}_{a \times b}$ é a matriz de zeros com dimensões $a \times b$
- \mathbf{I}_a é a matriz identidade com dimensões $a \times a$

Conversão paralelo/serial e conversão D/A



Conversão paralelo/serial e conversão D/A

- Sinal resultante da conversão paralelo/serial dos símbolos OFDM:

$$x[n] = \sum_{\ell=-\infty}^{\infty} \sum_{m=0}^{N+N_{\text{CP}}-1} x_{\text{CP},m}[\ell] \delta[n - m - \ell(N + N_{\text{CP}})]$$

- Saída do conversor D/A:

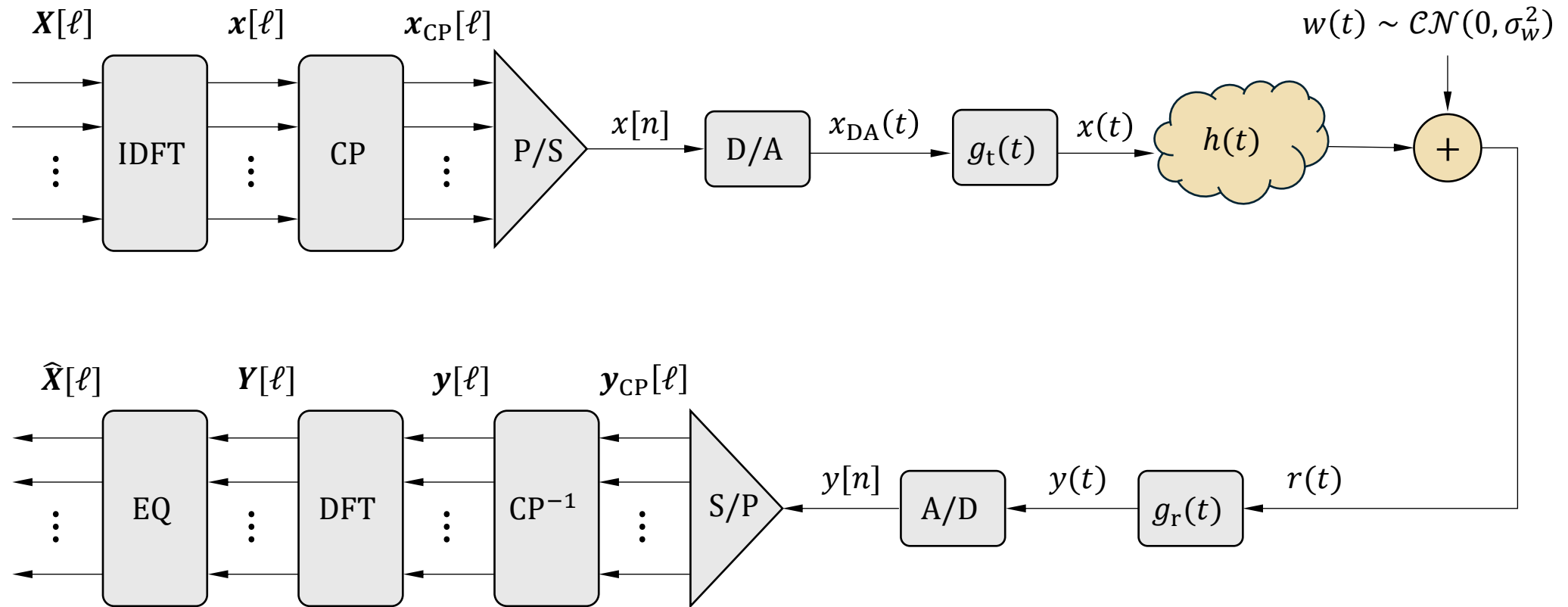
$$x_{\text{DA}}(t) = \sum_{\ell=-\infty}^{\infty} \sum_{m=0}^{N+N_{\text{CP}}-1} x_{\text{CP},m}[\ell] \delta(t - mT_s - \ell(N + N_{\text{CP}})T_s)$$

- **Sinal de transmissão em banda base** após o filtro de formatação de pulso:

$$x(t) = x_{\text{DA}}(t) \star g_t(t) = \sum_{\ell=-\infty}^{\infty} \sum_{m=0}^{N+N_{\text{CP}}-1} x_{\text{CP},m}[\ell] g_t(t - mT_s - \ell(N + N_{\text{CP}})T_s)$$

Observação: Por definição, $g_t(t)$ é a raiz quadrada do cosseno elevado. Quando $\alpha = 0$ temos $g_t(t) = \text{sinc}(t/T_s)$, que é a expressão do filtro de reconstrução aplicado para obter um sinal analógico a partir de uma sequência.

Sinal recebido no receptor



Sinal recebido no receptor

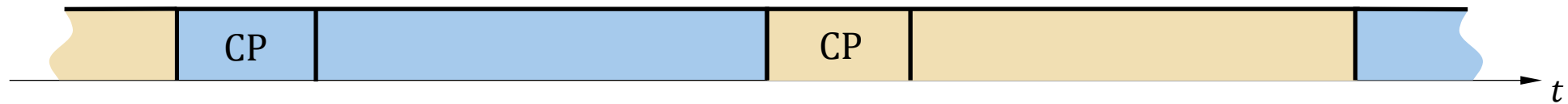
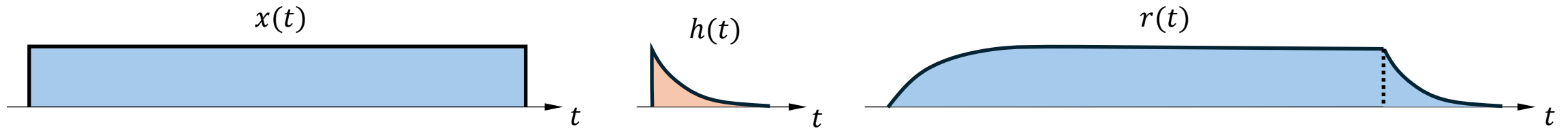
- Sinal na entrada do receptor:

$$\begin{aligned} r(t) &= x(t) \star h(t) + w(t) \\ &= \sum_{\ell=-\infty}^{\infty} x_{\ell}(t) \star h(t) + w(t) \\ &= \sum_{\ell=-\infty}^{\infty} \int_{-\infty}^{\infty} x_{\ell}(\tau) h(t - \tau) d\tau + w(t) \end{aligned}$$

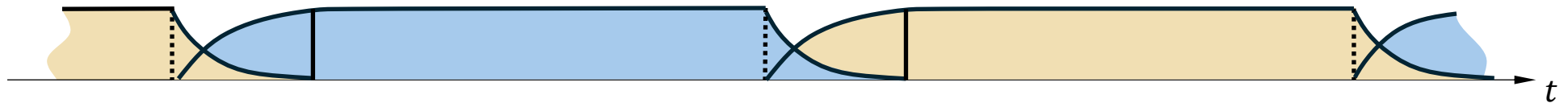
em que

$$x(t) = \sum_{\ell=-\infty}^{\infty} x_{\ell}(t) = \sum_{\ell=-\infty}^{\infty} \sum_{m=0}^{N+N_{\text{CP}}-1} x_{\text{CP},m}[\ell] g_{\text{t}}(t - mT_s - \ell(N + N_{\text{CP}})T_s)$$

Efeito da ISI sobre os blocos de símbolo OFDM

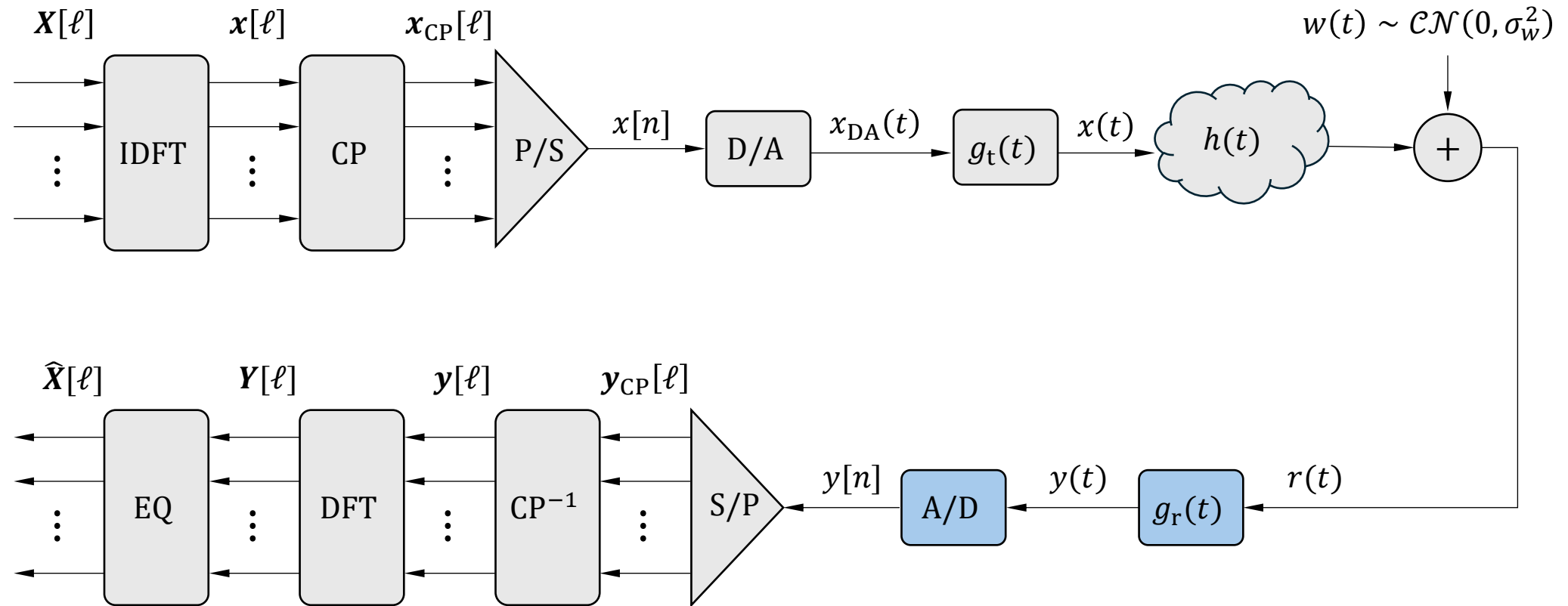


Blocos de símbolo adjacentes transmitidos



Blocos de símbolo adjacentes recebidos

Filtragem passa-baixas e conversão A/D



Filtragem passa-baixas e conversão A/D

- Saída na saída do filtro de recepção (filtro passa-baixas $g_r(t)$):

$$\begin{aligned} y(t) &= r(t) \star g_r(t) \\ &= x(t) \star h(t) \star g_r(t) + \underbrace{w(t) \star g_r(t)}_{v(t)} \\ &= \sum_{\ell=-\infty}^{\infty} x_{\ell}(t) \star h(t) \star g_r(t) + v(t) \end{aligned}$$

em que $v(t)$ é o ruído AWGN de banda limitada

Filtragem passa-baixas e conversão A/D

- Saída na saída do filtro de recepção (continuação):

$$y(t) = \sum_{\ell=-\infty}^{\infty} \sum_{m=0}^{N+N_{\text{CP}}-1} x_{\text{CP},m}[\ell] \delta(t - mT_s - \ell(N + N_{\text{CP}})T_s) \star \underbrace{g_t(t) \star h(t) \star g_r(t)}_{h_{\text{eq}}(t)} + v(t)$$

$$= \sum_{\ell=-\infty}^{\infty} \sum_{m=0}^{N+N_{\text{CP}}-1} x_{\text{CP},m}[\ell] h_{\text{eq}}(t - mT_s - \ell(N + N_{\text{CP}})T_s) + v(t)$$

$$y(t) = \sum_{\ell=-\infty}^{\infty} y_{\ell}(t) + v(t)$$

com $y_{\ell}(t)$ sendo a forma de onda no tempo contínuo do ℓ -ésimo bloco de símbolo OFDM recebido

Filtragem passa-baixas e conversão A/D

- Saída do conversor A/D:

$$y[n] = y(t) \Big|_{t=nT_s}$$

$$\begin{aligned} y[n] &= \sum_{\ell=-\infty}^{\infty} \sum_{m=0}^{N+N_{\text{CP}}-1} x_{\text{CP},m}[\ell] h_{\text{eq}}[n-m-\ell(N+N_{\text{CP}})] + v[n] \\ &= \sum_{\ell=-\infty}^{\infty} y_{\text{CP},n}[\ell] \end{aligned}$$

em que $y_{\text{CP},n}[\ell]$ representa a versão no domínio do tempo discreto do ℓ -ésimo bloco de símbolo recebido

Filtragem passa-baixas e conversão A/D

- Se $g_t[n] \star g_r[n]$ é um pulso de Nyquist (ou seja, atende o 1º critério de Nyquist), então

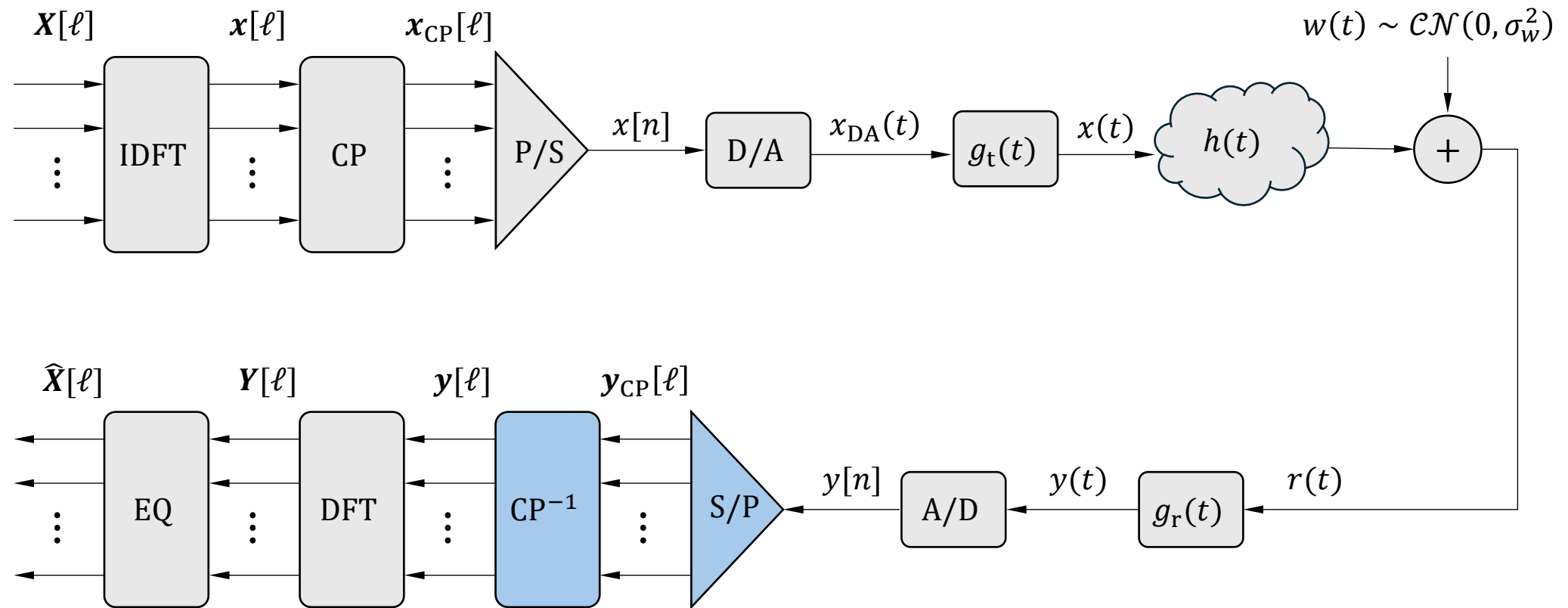
$$h_{\text{eq}}[n] = g_t[n] \star h[n] \star g_r[n] = \delta[n] \star h[n] = h[n]$$

- Assim,

$$\begin{aligned} y[n] &= \sum_{\ell=-\infty}^{\infty} \sum_{m=0}^{N+N_{\text{CP}}-1} x_{\text{CP},m}[\ell] h[n - m - \ell(N + N_{\text{CP}})] + v[n] \\ &= \sum_{\ell=-\infty}^{\infty} y_{\text{CP},n}[\ell] \end{aligned}$$

em que $h[n] = h(t)|_{t=nT_s}$, $n = 0, 1, \dots, L - 1$, e L é comprimento da resposta ao impulso do canal no tempo discreto

Conversão serial/paralelo e remoção do prefixo cíclico



Conversão serial/paralelo e remoção do prefixo cíclico

- Representação vetorial do ℓ -ésimo bloco de símbolo recebido na saída do conversor S/P:

$$\mathbf{y}_{\text{CP}}[\ell] = [y[\ell(N + N_{\text{CP}})], y[\ell(N + N_{\text{CP}}) + 1], \dots, y[\ell(N + N_{\text{CP}}) + N + N_{\text{CP}} - 1]]^T$$

- $\mathbf{y}_{\text{CP}}[\ell]$ representa o vetor $\mathbf{x}_{\text{CP}}[\ell]$ distorcido pelo canal e corrompido pelo ruído aditivo e pode ser representado matricialmente como

$$\mathbf{y}_{\text{CP}}[\ell] = \mathbf{C}_{\text{CP}}\mathbf{x}_{\text{CP}}[\ell] + \mathbf{v}_{\text{CP}}[\ell]$$

em que \mathbf{C}_{CP} é a matriz de convolução do canal para o símbolo $\mathbf{x}_{\text{CP}}[\ell]$ e $\mathbf{v}_{\text{CP}}[\ell]$ é a representação vetorial do ruído

- Remoção do prefixo cíclico:

$$\mathbf{y}[\ell] = \mathbf{R}_{\text{CP}}\mathbf{y}_{\text{CP}}[\ell] = [\mathbf{0}_{N \times N_{\text{CP}}} \quad \mathbf{I}_N]\mathbf{y}_{\text{CP}}[\ell]$$

Conversão serial/paralelo e remoção do prefixo cíclico

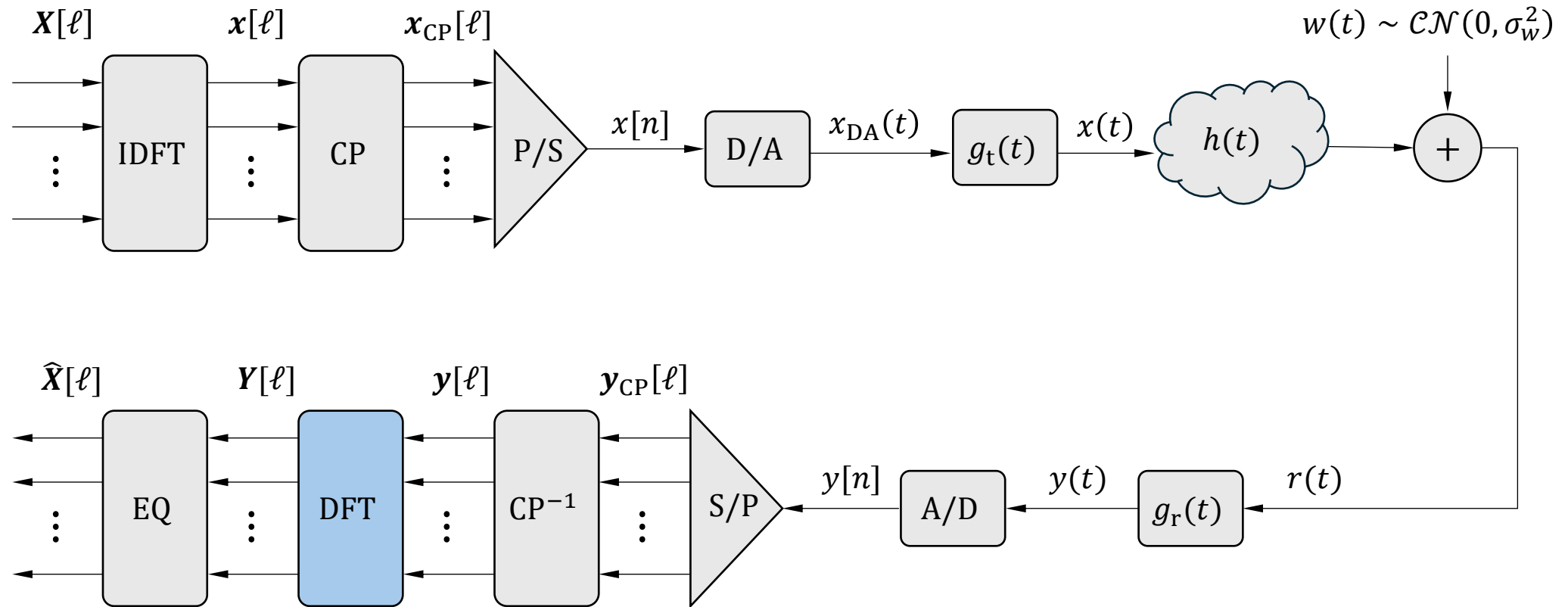
- Com $N_{\text{CP}} \geq L - 1$, temos que a matriz de convolução do canal \mathbf{C}_{CP} torna-se **circulante** após a remoção do prefixo cíclico, ou seja,

$$\begin{aligned}\mathbf{y}_\ell &= \mathbf{R}_{\text{CP}} \mathbf{C}_{\text{CP}} \mathbf{T}_{\text{CP}} \mathbf{x}[\ell] + \mathbf{R}_{\text{CP}} \mathbf{v}_{\text{CP}}[\ell] \\ &= \mathbf{C}_h \mathbf{x}[\ell] + \mathbf{v}[\ell]\end{aligned}$$

em que

$$\mathbf{C}_h = \begin{bmatrix} h[0] & 0 & \cdots & 0 & h[L-1] & h[L-2] & \cdots & h[1] \\ h[1] & h[0] & \cdots & 0 & 0 & h[L-1] & \cdots & h[2] \\ \vdots & \vdots & \ddots & \vdots & \vdots & \vdots & \ddots & \vdots \\ h[L-1] & h[L-2] & \cdots & 0 & 0 & 0 & \cdots & 0 \\ 0 & h[L-1] & \cdots & 0 & 0 & 0 & \cdots & 0 \\ \vdots & \vdots & \ddots & \vdots & \vdots & \vdots & \ddots & \vdots \\ 0 & 0 & \cdots & h[L-1] & h[L-2] & h[L-3] & \cdots & h[0] \end{bmatrix}$$

Transformada discreta de Fourier



Transformada discreta de Fourier

- ℓ -ésimo bloco de símbolo recebido no domínio da frequência:

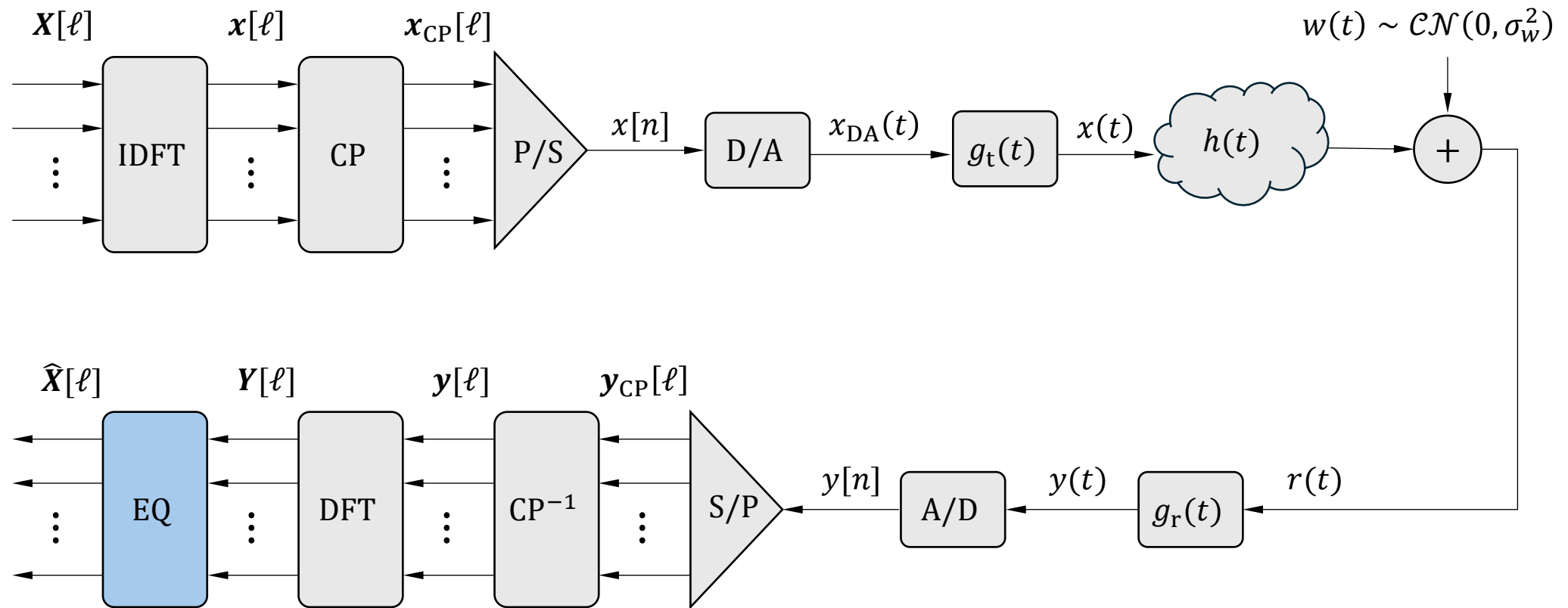
$$\begin{aligned} \mathbf{Y}[\ell] &= \mathcal{F}\mathbf{y}[\ell] \\ &= \mathcal{F}(\mathbf{C}_h\mathbf{x}[\ell] + \mathbf{v}[\ell]) \\ &= \mathcal{F}\mathbf{C}_h\mathcal{F}^H\mathbf{X}[\ell] + \mathcal{F}\mathbf{v}[\ell] \\ &= \mathbf{\Lambda}_H\mathbf{X}[\ell] + \mathbf{V}[\ell] \end{aligned}$$

em que $\mathcal{F} = \frac{1}{\sqrt{N}}\mathbf{W}$, $\mathbf{\Lambda}_H = \text{diag}\{H[0], H[1], \dots, H[N-1]\}$, $H[k]$ é o k -ésimo coeficiente de

$$\mathbf{H} = \mathbf{W} \begin{bmatrix} \mathbf{h} \\ \mathbf{0}_{(N-L) \times 1} \end{bmatrix}$$

$$\text{e } \mathbf{h} = [h[0] \ h[0] \ \dots \ h[L-1]]^T$$

Equalização



Equalização

- Equalizador baseado no critério **zero-forcing** (ZF):

$$\mathbf{E} = \mathbf{\Lambda}_H^{-1}$$

- Equalizador baseado no critério **minimum mean square error** (MMSE):

$$\mathbf{E} = \frac{\mathbf{\Lambda}_H^H}{\mathbf{\Lambda}_H^H \mathbf{\Lambda}_H + \frac{\mathbf{\Lambda}_{\sigma_V^2}}{\mathbf{\Lambda}_{\sigma_X^2}}}$$

em que:

- $\mathbf{\Lambda}_{\sigma_V^2} = \mathbb{E}\{\mathbf{V}\mathbf{V}^H\} = \text{diag}\{\sigma_V^2[0], \sigma_V^2[1], \dots, \sigma_V^2[N-1]\}$, pois $\mathbb{E}\{\mathbf{V}\} = \mathbf{0}_{N \times 1}$ e $\mathbb{E}\{V_j V_i\} = \mathbb{E}\{V_j\}\mathbb{E}\{V_i\}$ para $i \neq j$
- $\mathbf{\Lambda}_{\sigma_X^2} = \mathbb{E}\{\mathbf{X}\mathbf{X}^H\} = \sigma_X^2 \mathbf{I}_N$, pois $\mathbb{E}\{\mathbf{X}\} = \mathbf{0}_{N \times 1}$ e $\mathbb{E}\{X_j X_i\} = \mathbb{E}\{X_j\}\mathbb{E}\{X_i\}$ para $i \neq j$

Equalização

- Aplicando o **equalizador ZF** no domínio da frequência discreta, a estimativa do ℓ -ésimo bloco de símbolo transmitido é

$$\begin{aligned}\hat{\mathbf{X}}[\ell] &= \mathbf{E}\mathbf{Y}[\ell] \\ &= \mathbf{E}(\mathbf{\Lambda}_H \mathbf{X}[\ell] + \mathbf{V}[\ell]) \\ &= \mathbf{\Lambda}_H^{-1} \mathbf{\Lambda}_H \mathbf{X}[\ell] + \mathbf{\Lambda}_H^{-1} \mathbf{V}[\ell] \\ &= \mathbf{X}[\ell] + \underbrace{\mathbf{\Lambda}_H^{-1} \mathbf{V}[\ell]}_{\text{Enriquecimento do ruído}}\end{aligned}$$

Estimação de Canal



Estimação de canal

- Podemos usar o esquema OFDM para estimar o canal de comunicação
- Para tanto, consideremos que o receptor conhece o símbolo transmitido \mathbf{X}_ℓ e, portanto, o objetivo é obter $\mathbf{\Lambda}_H$, a partir de

$$\begin{aligned}\mathbf{Y}_\ell &= \mathbf{\Lambda}_H \mathbf{X}[\ell] + \mathbf{V}[\ell] \\ &= \mathbf{\Lambda}_X[\ell] \mathbf{H} + \mathbf{V}[\ell]\end{aligned}$$

em que $\mathbf{\Lambda}_X[\ell] = \text{diag}\{X_0[\ell], X_1[\ell], \dots, X_{(N-1)}[\ell]\}$

- Estimativa da resposta em frequência do canal:

$$\begin{aligned}\hat{\mathbf{H}} &= \mathbf{\Lambda}_X^{-1}[\ell] \mathbf{\Lambda}_X[\ell] \mathbf{H} + \mathbf{\Lambda}_X^{-1}[\ell] \mathbf{V}[\ell] \\ &= \mathbf{H} + \mathbf{\Lambda}_X^{-1}[\ell] \mathbf{V}[\ell]\end{aligned}$$

Se $\sigma_X^2 = 1$, não ocorre a amplificação do ruído

- Estimativa da resposta ao impulso:

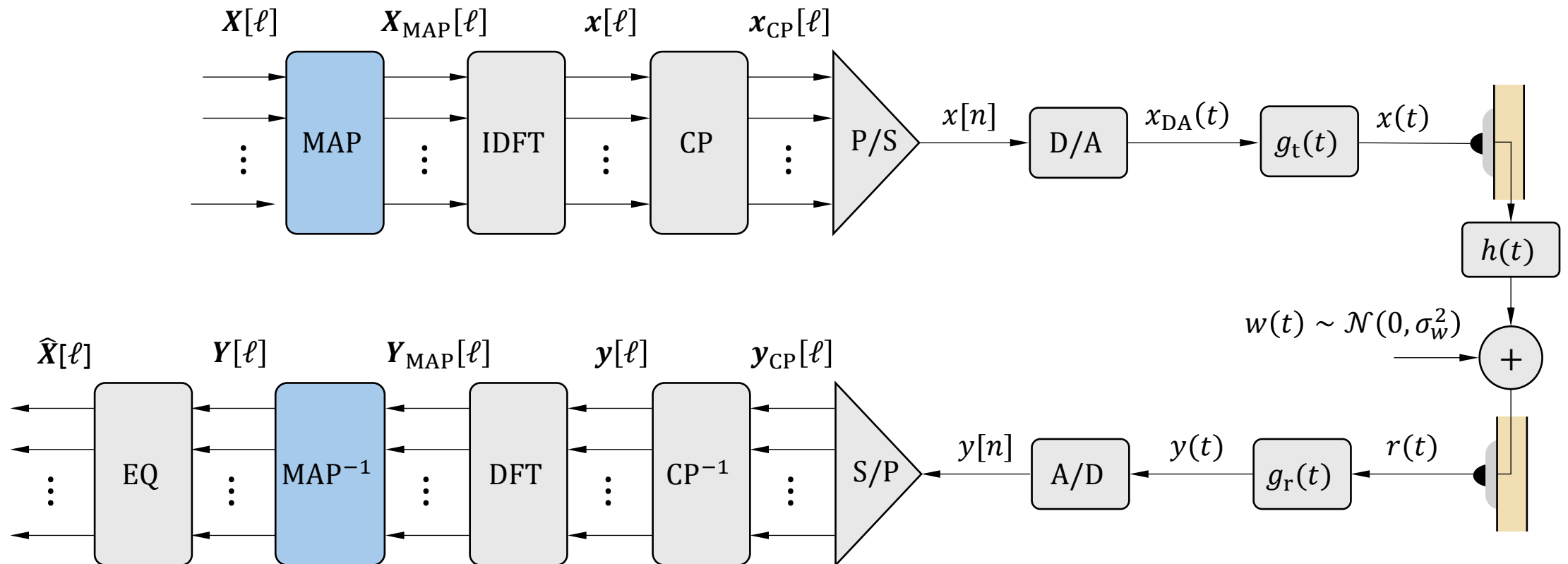
$$\hat{\mathbf{h}} = \frac{1}{N} \mathbf{W}^H \hat{\mathbf{H}}$$

Esquema DMT



Esquema DMT

- Para que o esquema OFDM possa ser implementado em banda base, é necessário que $x(t) \in \mathbb{R}$ ($x(t) \in \mathbb{C}$ na transmissão banda passante)
- Para isso, basta adicionar os blocos MAP e MAP^{-1} , conforme destacado na figura



Mapeamento

- O bloco MAP tem por objetivo garantir que o bloco de símbolo OFDM seja real no domínio do tempo
- O mapeamento segue a seguinte regra:

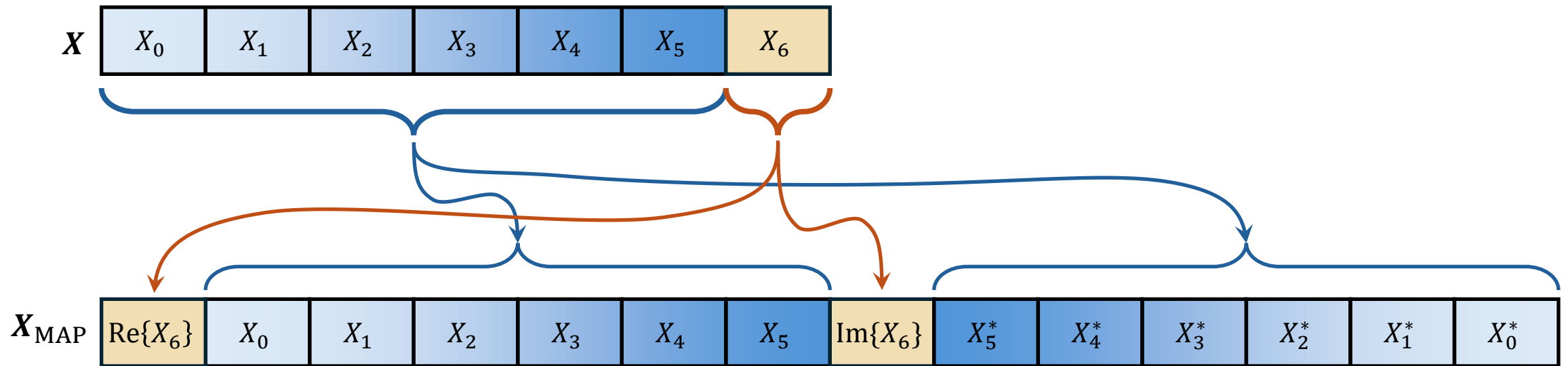
$$X_{\text{MAP},k}[\ell] = \begin{cases} X_{(k-1)}[\ell], & k = 1, \dots, N-1 \\ \text{Re}\{X_{(N-1)}[\ell]\}, & k = 0 \\ \text{Im}\{X_{(N-1)}[\ell]\}, & k = N \\ X_{(2N-k-1)}^*[\ell], & k = N+1, \dots, 2N-1 \end{cases}$$

em que $\text{Re}\{z\}$ e $\text{Im}\{z\}$ denotam as partes real e imaginária de um número complexo z

- $\mathbf{X}[\ell] \in \mathbb{C}^{N \times 1}$ e $\mathbf{X}_{\text{MAP}}[\ell] \in \mathbb{C}^{2N \times 1}$ são os vetores de entrada e saída do bloco MAP, respectivamente

Exemplo

- Mapeamento de $\mathbf{X} \in \mathbb{C}^{N \times 1}$ dando origem a $\mathbf{X}_{\text{MAP}} \in \mathbb{C}^{2N \times 1}$ com $N = 7$



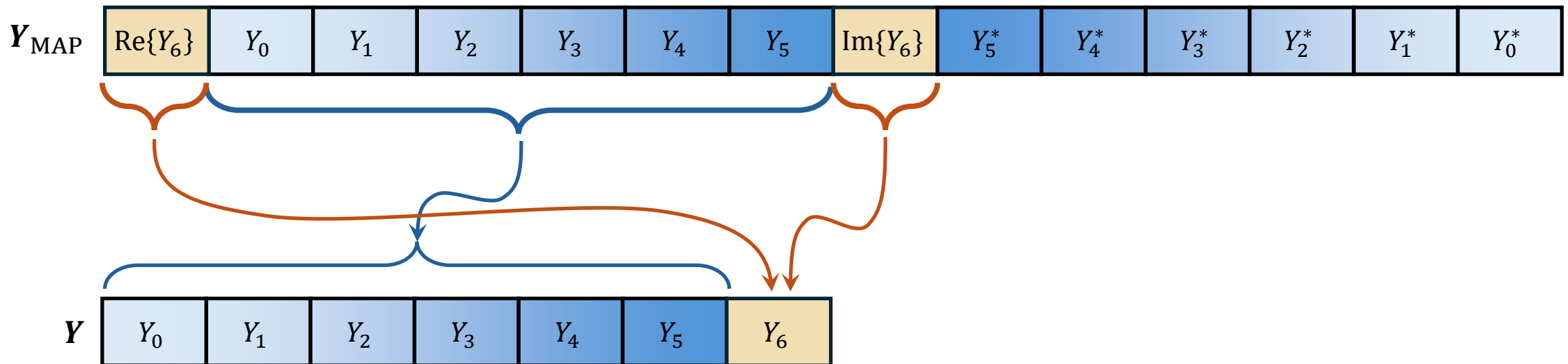
Exemplo

- O processo de demapeamento pode ser expresso como

$$\mathbf{Y}[\ell] = \text{MAP}^{-1}(\mathbf{Y}_{\text{MAP}}[\ell])$$

em que a $\mathbf{Y}[\ell] \in \mathbb{C}^{N \times 1}$ e a $\mathbf{Y}_{\text{MAP}}[\ell] \in \mathbb{C}^{2N \times 1}$

- Exemplo:* Demapeamento de $\mathbf{Y}_{\text{MAP}} \in \mathbb{C}^{2N \times 1}$ dando origem a $\mathbf{Y} \in \mathbb{C}^{N \times 1}$ com $N = 7$



Exercícios



Exercícios

Considere a transmissão de um sinal de comunicação DMT através de uma canal AWGN. Realize uma simulação Monte Carlo para estimar a probabilidade de erro de bit em termos da SNR considerando os seguintes parâmetros de simulação:

- $N = 128$ e $N_{CP} = 0$
- SNR = 0, 4, 8, 12, 16 e 20 dB
- Modulação digital 4-QAM e 16-QAM

Ainda, usando a expressão da capacidade

$$C = \Delta f \sum_{k=0}^{N-1} \log_2 \left(1 + \frac{\sigma_X^2}{\sigma_V^2[k]} \right)$$

gere o gráfico da capacidade em termos SNR para esse sistema

Referências



Referências

- J. Cioffi. Data Transmission Design. Notas de aula. Disponível em: https://cioffi-group.stanford.edu/ee379a/course_reader.html
- B. Sklar, Digital Communications: Fundamentals and Applications. 2ª Edição. Prentice - Hall, 2001